

В. Г. АСТАФУРОВ, Г. Н. ГЛАЗОВ  
(Томск)

**АЛГОРИТМ И ПОГРЕШНОСТИ ИЗМЕРЕНИЯ  
СОСТАВЛЯЮЩЕЙ СКОРОСТИ ВЕТРА  
КОРРЕЛЯЦИОННЫМ МЕТОДОМ В РЕЖИМЕ СЧЕТА ФОТОНОВ**

К настоящему времени реализованы две возможности измерения скорости ветра лидаром: доплеровским методом — с использованием СО<sub>2</sub>-лазера, гетеродинного детектирования и последедетекторного спектрального анализа и корреляционным методом [1] — с использованием стохастической модуляции огибающей эхосигналов неоднородностями аэрозоля. Второй метод, в отличие от первого, не требует высокой монохроматичности и частотной стабильности лазера, технически сложного (в условиях зондирования) фотосмещения и допускает зондирование на любой длине волны видимого или ИК-диапазонов. Хотя некоторые вопросы обработки и ошибок в корреляционных измерителях рассмотрены в [1], однако отсутствует анализ применительно к режиму счета фотонов, соответствующему предельным дальностям зондирования.

Для изучения точности зондирования профиля вектора скорости ветра достаточно рассмотреть измерение его составляющей в пространственном слое толщиной  $\Delta R$ . Рассмотрим импульсный моностатический лидар с двумя лучами передатчика (от одного лазера или двух синхронизированных лазеров), освещдающими два рассеивающих объема (с центрами в точках  $r_1, r_2$ ) на одинаковой дальности, и двумя приемными каналами, регистрирующими на интервале времени  $\Delta t = 2\Delta R/c$  числа фотоэлектронов ( $\Phi\mathcal{E}$ )  $n_i, m_i$ , обязанных своим появлением эхосигналам от объемов, фону и темновому току  $\Phi\mathcal{E}U$ . Здесь  $i = 1, 2, \dots, N$  нумеруют импульсы лазера, излучаемые с периодом повторения  $T$ , и соответствующие эхосигналы;  $N$  — число импульсов в сеансе одной оценки скорости;  $c$  — скорость света. Информация о составляющей  $v$  скорости по направлению  $\gamma = r_1 - r_2$  содержится во взаимной корреляционной функции  $B(t)$  совокупности «сигнал — помеха». Оценку  $v$  составляющей  $v$  найдем как  $\hat{v} = |\gamma|/\hat{t}_0$ , где  $\hat{t}_0$  — оценка положения  $t_0$  максимума  $B(t)$ . Оценку  $B(t)$  в точках  $t_j = jT, j = 0, 1, \dots$ , возьмем в виде [2]

$$\widehat{B}(j) = \frac{1}{N-j} \sum_{i=1}^{N-j} n_i m_{i+j}.$$

Для определения  $t_0$  используем аппроксимацию  $B(t)$  на интервале  $[t_0 - t^*, t_0 + t^*]$  параболой  $\widehat{B}(t) = a + bt + dt^2$ , тогда  $t_0 = -b/2d$ . Здесь  $t^*$  — радиус корреляции по уровню 0,5. Определяя методом минимальных квадратов [3] коэффициенты  $b$  и  $d$  по набору  $\{\widehat{B}(j)\}, j = L, L+M$ , найдем

$$\hat{t}_0 = \left( Q \frac{A_1}{A_2 + PA_0} + J_0 \right) T, \quad (1)$$

где

$$A_h = \sum_{j=L}^{L+M} (j - J_0)^h \widehat{B}(j), P = M(M+2)/12, J_0 = L + M/2,$$

$$Q = \begin{cases} (3 - M^2 - 2M)/30, & M \text{ — четное;} \\ \frac{5(M^2 + 1) - (M + 1)^4 - 4}{30[(M + 1)^2 - 1]}, & M \text{ — нечетное.} \end{cases}$$

Величины  $L$ ,  $L+M$  равны соответственно минимальному и максимальному значениям  $j$ , для которых выполняется условие

$$\widehat{B}(j) \geq \frac{1}{2} \{ \max \widehat{B}(j) + \tilde{n}\tilde{m} \},$$

где  $\tilde{n}$ ,  $\tilde{m}$  — выборочные средние для  $\{n_i\}$ ,  $\{m_i\}$ .

Эффективность измерения скорости ветра корреляционным методом  $v$  проведен в рамках следующей модели:

1. Аэрозольный коэффициент рассеяния  $\beta(r)$  имеет гауссово распределение [1] и коэффициент корреляции  $R(\gamma, t)$ .

2.  $\tau$  и  $\beta(r)$  статистически независимы, что оправдано особенностями формирования  $\tau$  при больших дальностях.

3. Энергии излучаемых импульсов  $E_i$  статистически независимы.

4.  $\tau_1 = \tau_2$ ,  $D(\tau_1) = D(\tau_2) = D_\tau$ , так как  $|\mathbf{r}_1| = |\mathbf{r}_2|$ . Индексы обозначают номера каналов.

5. Числа ФЭ, обусловленные молекулярным рассеянием лазерного излучения, внешними и внутренними шумами, имеют пуссоновское распределение [4] со средними значениями  $\bar{n}_m$  и  $\bar{n}_w$ . Корреляция сигналов в различных каналах обусловлена их аэрозольными составляющими со средним числом  $\Phi\bar{n}_a$ .

Обозначим  $\Psi = \bar{n}_w/\bar{n}_a$ ,  $\Psi' = \bar{n}_m/\bar{n}_a$ ;  $C(\gamma, t)$  — коэффициент корреляции  $\tau_1$  и  $\tau_2$ . Для определения  $D(\tau_0)$  разложим (1) в многомерный ряд Тейлора по степеням отклонений  $\widehat{B}(j) - B(j)$ . В результате задача сводится к вычислению моментов вида  $\overline{n_l n_i m_{l+j} m_{j+i}} \sim I_l I_i I'_{l+j} I'_{i+j}$ , где

$$I_l \sim B [\beta(\mathbf{r}_1, l) + \beta_m(\mathbf{r}_1)] E_i e^{-2\tau_1(i)} + I_w, \quad (2)$$

$B$  — коэффициент пропорциональности,  $\beta_m$  — коэффициент молекулярного рассеяния,  $I_w$  — эквивалентная интенсивность фонового излучения. Используя сделанные предположения и пренебрегая членами порядка  $\Psi^2$ ,  $N^{-2}$  и выше, найдем

$$\delta_v = \sqrt{\sum_{i=L}^{L+M} \sum_{j=L}^{L+M} F_i F_j P(i, j) T |Q| \delta_B (1 + \Psi') t_0^{-1}}, \quad (3)$$

где

$$F_j = \left\{ \sum_{q=L}^{L+M} b_q(j) C_q \right\} \left\{ \sum_{q=L}^{L+M} a_q C_q \right\}^{-2}; \quad (4)$$

$$C_q = e^{4D_\tau C(\gamma, q)} [\delta_\beta^2 R(\gamma, q) + (1 + \Psi')^2]; \quad (5)$$

$$\begin{aligned} b_q(j) &= (q-j)[(j-J_0)(q-J_0)+P]; \quad a_q = (q-J_0)^2 - P; \\ P(i, j) &= \frac{\exp\{4D_\tau [C(\gamma, j) + C(\gamma, i)]\}}{(N-j)(N-i)} \sum_{l=-N-i-1}^{N-j-1} L_l \exp\{D_\tau [C(0, l) + \\ &+ C(0, i-j-l) + C(\gamma, i-l) + C(\gamma, j+l)]\} (1 + \delta_E^2 \delta_{l0}) (1 + \delta_E^2 \delta_{i-j,l}) \times \\ &\times \left\{ F(i, j, l) + \left[ 1 + \Psi' + \frac{R(0, j) \delta_\beta^2}{1 + \Psi'} + \frac{\delta_{l0} \delta_{ij}}{\bar{n}_a} \right] (\delta_{l0} + \delta_{i-j,l}) / (\bar{n}_a \delta_\beta^2) \right\} + \Psi \Delta(i, j); \end{aligned} \quad (6)$$

$$L_l = \begin{cases} N - i + l, & l \leq 0; \\ N - i, & 0 < l \leq i - j; \\ N - j + l, & l > i - j; \end{cases}$$

$$\begin{aligned}\Delta(i, j) &= \frac{e^{-2D_\tau}}{1 + \Psi} \sum_{l=-(N-i-1)}^{N-j-1} \{Q(l, l+j, j) + Q(l, i-l, i) + \\ &\quad + Q(l+j-i, i-l, j) + Q(l+j-i, l+j, i)\}; \\ Q(m, n, l) &= (1 - \delta_E^2 \delta_{m0}) \exp\{D_\tau [C(0, m) + C(\gamma, n) + C(\gamma, l)]\} \times \\ &\quad \times [R(0, m) + \delta_{m0} (1 + \Psi') (\bar{n}_a \delta_\beta^2) + R(\gamma, m)]; \\ F(i, j, l) &= R(0, l) + R(0, i-j-l) + R(\gamma, i-l) + R(\gamma, j+l);\end{aligned}$$

$\delta_{ij}$  — символ Кронекера.

Приведенные выражения дают возможность точно рассчитать  $\delta_v$ . Более простые выражения для  $\delta_v$  можно получить, задав  $R$  в виде

$$R(\gamma, t) = \exp \left\{ -\frac{(x - v_x t)^2}{l_x^2} - \frac{(y - v_y t)^2}{l_y^2} - \frac{z^2}{l_z^2} - \frac{t^2}{v_0^2} \right\} \quad (7)$$

и полагая  $D_\tau = 0$ ,  $\delta_E = 0$ ,  $M \gg 1$ . В (7)  $l_x$ ,  $l_y$ ,  $l_z$  — параметры, характеризующие размеры аэрозольных неоднородностей. Из (2) видно, что при  $D_\tau = 0$  помеха за счет молекулярного рассеяния не зависит от сигнальной компоненты, как и помехи за счет внешних и внутренних шумов. Полагая в (6)  $\Psi = 0$  и заменяя  $\Psi'$  на  $\Psi^* = (\bar{n}_w + \bar{n}_m)/\bar{n}_a$ , получим для  $P(i, j)$  при  $l_x = l_y$ ,  $x = |\gamma|$  и  $y = z = 0$  следующее выражение:

$$P(i, j) = \frac{2}{N-j} \left\{ \frac{1}{\bar{n}_a \delta_\beta^2} \left[ (1 + \Psi^*) + \frac{\delta_\beta^2 R(0, i-j)}{1 + \Psi^*} + \frac{\delta_{ij}}{2\bar{n}_a} \right] + a_{ij} \right\}, \quad (8)$$

где

$$a_{ij} = \frac{1}{N-i} \sum_{l=-(N-i-1)}^{N-j-1} L_l [R(0, l) + R(d_x, i-l)],$$

$d_x = 2|\gamma|/l^0$  — относительный разнос рассеивающих объемов,  $l^0 = 1,66l_x$  — средний размер аэрозольных неоднородностей.

Выражение (4), используя квадратичную аппроксимацию (7) в окрестности  $t_0$  и выполняя суммирование, преобразуем к виду

$$F_j Q = \frac{6(j - J_0)}{\delta_\beta^2 M^3 \Theta} \exp[d_x^2 (1 - c_x^{-2} \Theta^{-1})], \quad (9)$$

где  $\Theta = (1 + H^2 c^2) c^{-2}$ ;  $c^{-2} = c_x^{-2} + c_y^{-2}$ ;  $c_{x,y} = l^0/(2v_{x,y} T)$ ;  $H = T/v_0$ . Подставляя (8) и (9) в (3) и выполняя суммирование для первого слагаемого (8) при  $N \gg M/2$ , окончательно получаем

$$\delta_v = \frac{\sqrt{\left[ \frac{M^3}{12\bar{n}_a \delta_\beta^2} - \frac{1 - M\sqrt{\pi\Theta}/2}{\Theta^2(1 + \Psi^*)} \right] (\bar{n}_a N')^{-1} + 2G}}{\delta_\beta M^3 d_x \exp[d_x^2 (c^{-2} \Theta^{-1} - 1)]} c_x (1 + \Psi^*). \quad (10)$$

Здесь  $N' = N - J_0$ ,

$$G(c_x, c_y, H, d_x, N) = \sum_{i=1}^{L+M} \sum_{j=L}^{L+M} \frac{(i - J_0)(j - J_0)}{N-i} a_{ij}.$$

На рис. 1 представлены результаты расчетов  $\delta_v$  при  $\Psi^* = 0$ ,  $N = 2000$ ,  $T = 0,1$  с и  $l^0 = 10$  м, что соответствует  $L = c_x(d_x - 1)$ ,  $L + M = c_x(d_x + 1)$ . Отметим, что величина  $\delta_v$  сильно зависит от  $\delta_\beta$  и  $v_0$  при больших значениях  $d_x$ . Первая зависимость существенно ограничивает возможности корреляционного метода, а вторая накладывает ограничения на величину разноса  $|\gamma|$  между рассеивающими объемами. На рис. 2 приведены зависимости  $G(c_x, 0, H, d_x, N)$ , которые можно использовать для определения  $\delta_v$  при  $Q < 5 \cdot 10^{-3}$  и  $d_x \in [1, 2]$ . Значения  $\delta_v$ , рассчиты-

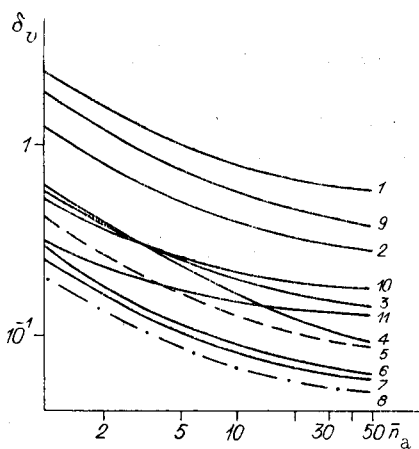


Рис. 1. Зависимости  $\delta_v$  от  $n_{\bar{a}}$ :  
при  $v_0 = 5$  (4), 10 (6) и 20 с (остальные кривые);  
при  $\delta_\beta = 0,08$  (9); 0,15 (10); 0,2 (11) и 0,1 (1-8);  
 $d_x = 1$  (1); 2 (2, 9-11), 4 (3) и 10 (4-8); штрих-  
пунктирная линия —  $v = 5$ , сплошные — 10, штри-  
ховал — 20 м/с

ляемое средней шириной  $\xi$  одноэлектронного импульса на уровне порога дискриминации [5]. В [6] с помощью численного моделирования показано, что наличие инерционности не приводит к смещению оценки  $\hat{v}$  и практически не увеличивает ошибку  $\delta_v$ .

На рис. 3 приведены результаты численного эксперимента при следующих значениях параметров:  $t_0 = 5$  с,  $T = 0,1$  с,  $l^0 = 10$  м,  $\delta_\beta = 0,3$ ,  $d_x = 4$ ,  $N = 1000$ ,  $\Psi^* = 0$ ,  $v = 5$  м/с и  $v = 15$  м/с. Оценки  $\hat{v}$  при  $\xi = 0$  показаны сплошными линиями, а при  $\xi/\Delta t = 0,01$  — штриховыми; крестики соответствуют оценкам  $v(1 \pm \delta_v)$ . При этом для «определения»  $\hat{v}$  использовался рассматриваемый в данной работе алгоритм. Полученные

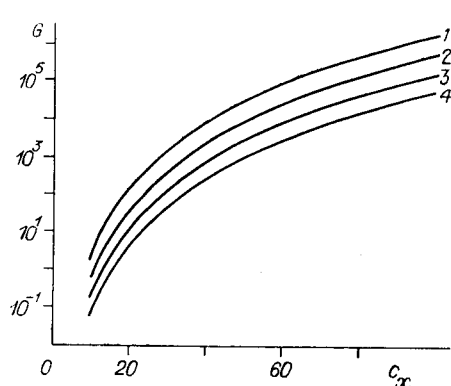


Рис. 2. Зависимости  $G$  от  $c_x$  при  $N = 500$  (1), 1000 (2), 2000 (3), 4000 (4)

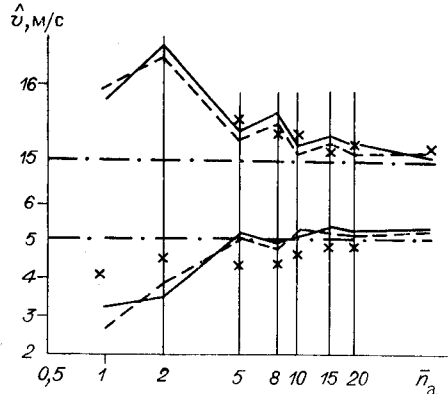


Рис. 3. Результаты численного эксперимента

результаты иллюстрируют как работоспособность предложенного алгоритма (1), так и выводы относительно влияния инерционности приемных трактов корреляционного измерителя.

Авторы выражают благодарность Г. Г. Матвиенко за участие в постановке задачи и Н. В. Тюхтевой за помощь в расчетах.

#### ЛИТЕРАТУРА

1. Применение корреляционных методов в атмосферной оптике/В. М. Орлов, Г. Г. Матвиенко, И. В. Самохвалов и др.— Новосибирск: Наука, 1983.
2. Джейкман Е. Корреляция фотонов // Спектроскопия оптического смещения и корреляция фотонов/Под ред. В. Ф. Бункина: Пер. с англ.— М.: Мир, 1978.
3. Ланцони К. Практические методы прикладного анализа /Под ред. А. М. Лопшица: Пер. с англ.— М.: Физматгиз, 1961.
4. Астафуров В. Г., Глазов Г. Н. Статистика фотоотсчетов и режимы регистрации лазерного сигнала // Дистанционное зондирование атмосферы.— Новосибирск: Наука, 1978.

5. Астафуров В. Г., Глазов Г. Н. Сравнение точности измерения интенсивности света методами счета одноэлектронных импульсов и накопления заряда // Радиотехника и электроника.— 1985.— Т. 30, № 1.
6. Астафуров В. Г., Курашов Ю. М. Оценки эффективности оптического измерителя скорости ветра на основе замкнутого численного эксперимента // Тез. докл. VIII Всесоюз. симп. по лазерному и акустическому зондированию атмосферы.— Томск: Ин-т оптики атмосферы СО АН СССР, 1984.— Ч. 2.

*Поступила в редакцию 6 января 1986 г.*

---

УДК 519.642.3

**П. М. АРОНОВ, В. В. ЛЕОНОВ**

*(Свердловск)*

## АСИМПТОТИЧЕСКИЕ ОПТИМАЛЬНЫЕ ПО ПОРЯДКУ СОСТОЯТЕЛЬНЫЕ СТАТИСТИЧЕСКИЕ ОЦЕНКИ РЕШЕНИЯ УРАВНЕНИЯ ТИПА СВЕРТКИ

К уравнению типа свертки приводят многие задачи обработки экспериментальных данных. Если входящие в уравнение функции финитны (отличны от нуля на конечных интервалах), то уравнение может быть представлено в виде [1]

$$\frac{1}{2T} \int_{-T}^T x(\tau) g(t - \tau) d\tau = y(t), \quad |t| < T, \quad (1)$$

где периодические (с периодом  $2T$ ) вещественные функции  $x(t)$ ,  $g(t)$ ,  $y(t)$  принадлежат пространству  $L_2(-T, T)$  функций, интегрируемых с квадратом на интервале  $(-T, T)$ . При этом интегральный оператор в уравнении (1) является оператором Гильберта-Шмидта [2], следовательно, он вполне непрерывен (компактен) и не имеет ограниченного обратного. Даже если решение существует и единствено, оно не устойчиво к малым возмущениям правой части уравнения и задача является некорректной по Адамару.

Известны методы получения устойчивых приближенных решений уравнения (1), использующие некоторую априорную информацию. Она позволяет выделить компактное множество функций  $S$ , включающее решение, или задать шар известного радиуса  $\delta$ , содержащий возмущения правой части уравнения [1, 3].

Во многих практических задачах возмущения правой части уравнения случайны и адекватным является статистическое описание как исходных данных, так и приближенных решений. Разработаны статистические методы оценивания решения уравнения (1), опирающиеся на априорное знание компактного множества  $S$ , содержащего решение, а также ковариационного оператора случайных возмущений правой части (1), описываемых в виде случайного процесса в оснащенном гильбертовом пространстве [4].

При использовании указанных методов решения уравнения (1) на практике возникают известные трудности. Во-первых, априорная информация о решении и возмущениях правой части уравнения (1) часто носит качественный характер. Например, это могут быть сведения о гладкости решения и негладкости исходных данных, не содержащие соответствующих количественных характеристик. Такая информация не позволяет выделить нужный компакт  $S$  и задать с необходимой точностью характеристики интенсивности возмущений, такие как  $\delta$  или дисперсия при статистическом описании. Во-вторых, исходные данные, полученные на опыте, как правило, конечномерны и приходится строить конечномер-